

А.Ф. БРИК, Р.Н. КАЛЕНДАРЬ,
О.Р. СТРАТУЛА, Ю.М. СИВОЛАП

Южный биотехнологический центр в растениеводстве
Украина 65036, г. Одесса-36, ул. Овидиопольская дорога, 3
e-mail: yuri@genome.intes.odessa.ua

IRAP- И REMAP-АНАЛИЗ СОРТОВ ЯЧМЕНИ ОДЕССКОЙ СЕЛЕКЦИИ



Для детальной характеристики, дифференциации и идентификации сортов сельскохозяйственных растений наряду с монолокусным SSR-анализом перспективны полилокусные бивалльные системы ПЦР-анализа. В геноме растений известны, как наиболее вариабельные, участки микросателлитов и LTR ретротранспозонов, которые могут быть использованы в ПЦР-анализе в виде IRAP и REMAP. Разработаны условия IRAP- и REMAP-анализа меж- и внутрисортового полиморфизма ячменя. Проведен подробный анализ генетических взаимоотношений и внутрисортового полиморфизма 27 сортов ячменя одесской селекции. Приводятся детальные формулы генотипов, которые отражают внутрисортовой полиморфизм и позволяют проследить изменения структуры сорта в процессе семеноводства.

© А.Ф. БРИК, Р.Н. КАЛЕНДАРЬ, О.Р. СТРАТУЛА,
Ю.М. СИВОЛАП, 2006

Введение. Одним из важных аспектов генетики и практической селекции растений является детальная характеристика улучшаемого материала. Для решения этой задачи внедряются новые технологии, которые базируются на анализе полиморфизма ДНК [1].

Созданные в результате селекции сорта растений сочетают уникальные комбинации аллелей генов, обеспечивающих адаптацию к условиям жизни и необходимый уровень развития ценных технологических признаков. Особенности набора аллелей генов и, следовательно, последовательностей нуклеотидов ДНК по сути представляют «генетический паспорт» сорта [2]. Необходимым является создание надежной системы молекулярно-генетических маркеров, выявляющих и отражающих эти особенности. Маркерные системы, основанные на полиморфизме фрагментов ДНК, в значительной степени соответствуют предъявляемым требованиям. Они позволяют проанализировать на молекулярном уровне генетические особенности представителей данного вида, провести каталогизацию источников зародышевой плазмы, обеспечить точное описание генетического материала, а также надежную защиту авторских прав селекционеров и селекционных организаций. Актуальным является изучение особенностей сортов ячменя Юга Украины и создание информационной базы данных, отражающей молекулярно-генетические характеристики источников, используемых в селекционном процессе.

На протяжении последнего десятилетия перспективным направлением изучения генетических источников ячменя является ПЦР-анализ. Нами разработан оригинальный подход идентификации и регистрации генотипов ячменя с участием монолокусной системы с использованием микросателлитов [3]. При помощи SSRP-анализа удается уникально дифференцировать и идентифицировать сорта ячменя. В то же время для установления генетических взаимоотношений между сортами может быть недостаточно анализа 15 локусов. Кроме того, результаты анализа микросателлитных участков не всегда выявляют внутрисортовую гетерогенность сортов ячменя.

Для распределения сортов в зависимости от генетической близости применяют полилокусные маркеры типа RAPD. Проблема воспроизводимости результатов RAPD-анализа

IRAP и REMAP-анализ сортов ячменя одесской селекции

побудила к разработке новых полилокусных маркеров, позволяющих стабильно повторять результаты одновременного анализа десятков локусов. Особый интерес вызывают относительно недавно разработанные полилокусные системы: IRAP, где используются праймеры из LTR — длинных концевых фрагментов ретротранспозонов, и REMAP, где один праймер — микросателлитный повтор, а другой — участок из длинных концевых фрагментов ретротранспозона [4—7]. Жесткий критерий реакции позволяет в обоих случаях получать хорошо воспроизводимые результаты.

Задачей настоящего исследования явилось: 1) изучить возможности использования IRAP и REMAP маркеров для анализа генетического разнообразия сортов ячменя одесской селекции; 2) выявить разрешающую способность IRAP и REMAP маркеров при определении меж- и внутрисортового полиморфизма у сортов ярового и озимого ячменя; 3) провести подробный анализ генетических взаимоотношений сортов ячменя одесской селекции; 4) создать на базе полученных данных подробный каталог исследованных сортов ячменя, где приводятся формулы, отражающие аллельное состояние фиксированных локусов.

Материалы и методы. Материалом для исследования служили 27 сортов ячменя одесской селекции, любезно предоставленные отделом селекции ячменя СГИ: 20 яровых и 7 озимых сортов ячменя (табл. 1).

ДНК выделяли из пятидневных этиолированных проростков с помощью цетавлона В (СТАВ).

Детекцию полиморфизма проводили с помощью праймеров из различных LTR-последовательностей ретротранспозонов ячменя, а также ISSR-праймеров двумя ПЦР-методами — IRAP и REMAP. LTR- и ISSR-праймеры, использованные в работе, представлены в табл. 2 и 3 соответственно.

Реакционная смесь для полимеразной цепной реакции с IRAP-праймерами объемом 20 мкл содержала: 50 мМ KCl, 20 мМ Tris-HCl pH 8,4 (25 °C), 3 мМ MgCl₂, 0,01 % Tween 20, 5 % глицерин, по 0,15 мМ каждого dNTP, 0,2 мКМ праймера, 20 нг ДНК и 1—2 единицы Taq-полимеразы.

Для полимеразной цепной реакции применяли следующий температурный режим: на-

Таблица 1
Сорта, исследованные в работе

Яровые	Озимые
Адапт	Манас
Галактик	Одесский 165
Галатея	Одесский 167
Гамбринус	Основа
Гетьман	Росава
Дерибас	Тайна
Эдем	Тамань
Зоряный	
Незалежный	
Оболонь	
Одесский 115	
Одесский 131	
Одесский 151	
Палладум 107	
Переможный	
Пивденный	
Прерия	
Престиж	
Рось	
Сталкер	

Таблица 2
LTR-праймеры, отобранные для проведения ПЦР

Праймер	Количество			Уровень полиморфизма, %
	ПЦР-локусов	полиморфных ПЦР-локусов	выявленных генотипов	
NIKITA 1-57 + 92714	10	5	12	50,0
NIKITA 1-57 + E 2082	13	8	21	61,5
NIKITA 1-57 + 91673	10	4	12	40,0
92714 + E 2095	12	6	17	50,0
E 2082	15	11	24	73,3
E 2082 + 91673	19	9	19	47,4
C 0945	16	11	25	68,8
E 2095 + C 0946	26	17	27	65,4
91673 + E 1814	22	13	23	59,1

Таблица 3
ISSR-праймеры, отобранные для проведения ПЦР

Праймер	Последовательность праймера
R 2	(GA) ₆ C
R 8	(AGC) ₆ G
R 9	(AG) ₆ C

Таблица 4

Характеристика детектированных IRAP-локусов

Праймер	Последовательность праймера	Ретротранспозон
NIKITA1-57	CGCATTGTTCAAGCCTAAACC	NIKITA
92714	ATCATTGCCTCTAGGGCATAATT	BARE I
E 0229	ACGTCGGCATCGGGCTGTAC	SUKKULA
C 2430	TTGTTCCACCCACCGTCTACTTG	SABRINA
E 2082	GGGTCGCATACTGGGCGTGAC	SUKKULA
E 2095	GGACCGCATTCTGGTCGTTAC	SUKKULA
C 0945	GCAAGCTTCCGTTCCGC	SABRINA
91673	TGTGACAGCCCCGATGCCGACGTTCC	SUKKULA
C 0946	TTCCGTTGGACTCCGTTCC	SABRINA
E 1814	TTCCCAGCGACGTTCCCCAAC	BARE I

чальная денатурация — 1,5 мин при 94 °С, денатурация — 30 с при 94 °С, отжиг — 40 с при 60 °С, элонгация — 1 мин при 72 °С, заключительная элонгация — 10 мин при 72 °С. Проводили 35 циклов амплификации. Для амплификации ДНК использовали приборы «Терцик» («ДНК-технология», Россия).

Для тестирования продуктов амплификации использовали 2%-ные агарозные гели с последующим окрашиванием бромистым этидием и фотографированием в УФ-свете на фотопленку «Микрат-300» (Россия). Документирование профилей ДНК на гелях проводили с помощью системы видеодокументации «Image Master VDS» («Amersham Pharmacia Biotech», Австрия). Фотографировали окрашенные гели цифровой видеокамерой. С помощью компьютерного обеспечения LISKAP цифровое видеоизображение продуктов разделения в геле переносили в компьютер. Далее, используя компьютерную программу «Image Master 1D Elite v3.1», вычисляли размеры амплифицированных фрагментов.

Степень подобия анализируемых генотипов определяли, используя коэффициент SM (simple matching). Дендрограммы, определяющие уровень феногенетических взаимоотношений между генотипами, строили, используя кластерный анализ на основе невзвешенного парно-группового метода с арифметическим усреднением UPGMA. Установление генетических дистанций согласно коэффициенту SM и кластерный анализ с графическим построением дендрограмм осуществляли с помощью компьютерной программы TREES.

При составлении генетической формулы по данным REMAP-анализа буквой латинского алфавита обозначили праймер или пару праймеров (табл. 9), а нижний индекс — молекулярную массу детектированного локуса.

Результаты исследований и их обсуждение. Первым этапом исследования стал подбор праймеров. Для дизайна праймеров использовали компьютерную программу FastPCR, контролирующую стабильность и эффективность праймера.

В процессе подбора обращали внимание на консервативные участки ретротранспозонов, так как праймеры к этим участкам позволяют получить продукты амплификации из большего числа копий геномной ДНК. Использование праймеров к гетерогенным участкам ретротранспозонов снижает вероятность их отжига на геномной ДНК, тем самым уменьшая количество продуктов амплификации. Поэтому для выявления консервативных участков использовали выравнивание нескольких последовательностей ретротранспозонов.

Из 55 возможных комбинаций IRAP-праймеров для проведения исследования отобрано девять наиболее информативных вариантов (табл. 4). В результате анализа 27 сортов ячменя с помощью IRAP-праймеров детектировано 143 продукта амплификации. Размер ампликонов варьировал от 150 до 2000 п.н. Количество полиморфных ПЦР-локусов — 84, что достаточно для дифференциации исследуемых сортов. Уровень полиморфизма варьировал от 40,0 до 73,3 % в зависимости от праймера (или пары праймеров). Кроме уровня полиморфизма, важным показателем информативности того или иного праймера является количество детектируемых генотипов. Значение этого показателя варьировало от 12 до 27.

Продукты амплификации ретротранспозонов IRAP и REMAP ПЦР-методами имеют доминантную природу наследования, которая связана с точечными мутациями в участках ДНК, комплементарных праймерам. Кодоминантные маркеры образуются, когда мутации (вставки или делеции) происходят в последовательностях между праймерами, но так как последние редки, кодоминантные маркеры наблюдаются здесь нечасто.

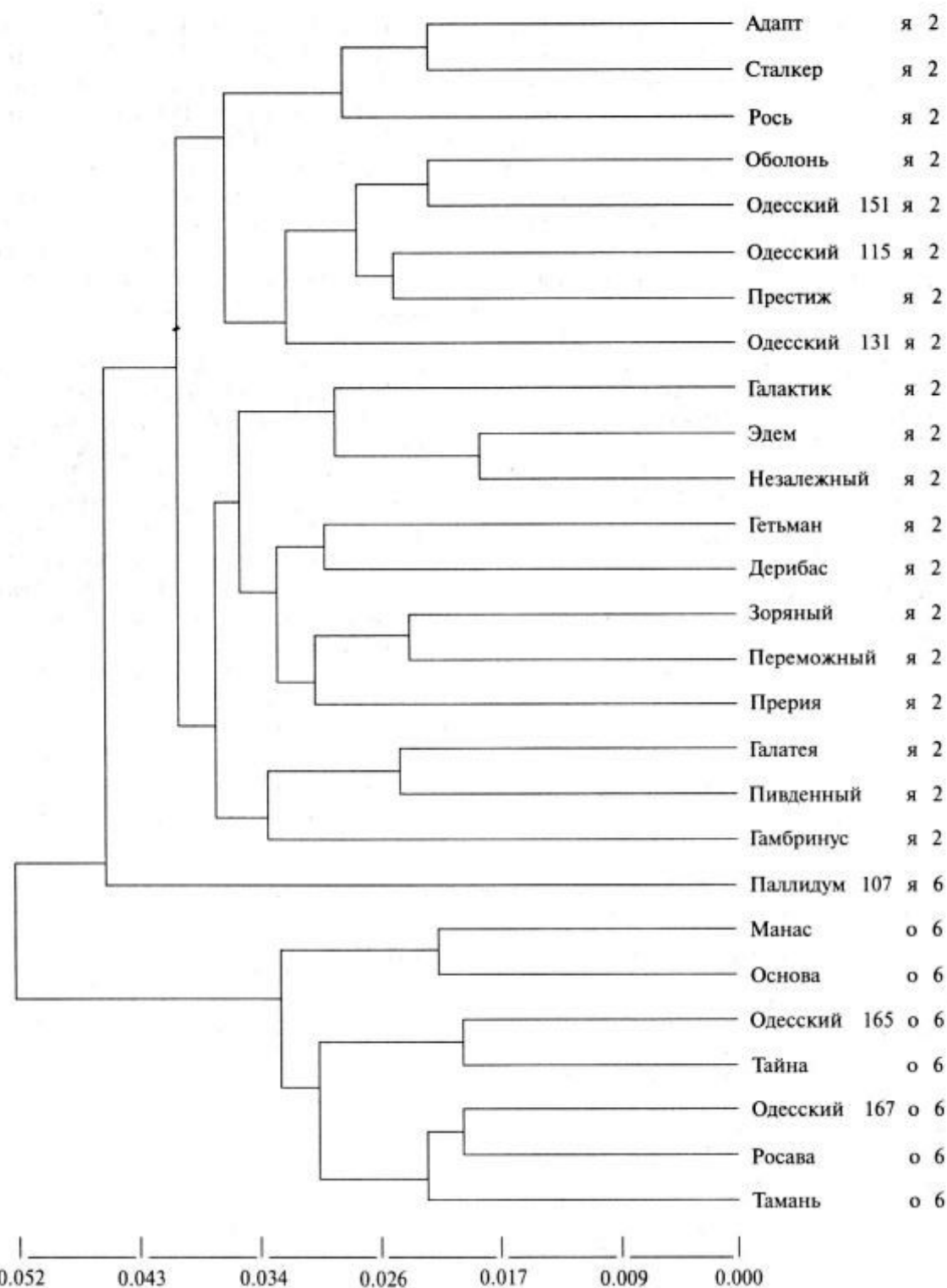


Рис. 1. Дендрограмма феногенетических взаимоотношений сортов ячменя одесской селекции (по данным IRAP-анализа): я — яровые сорта; о — озимые сорта; 2 — двурядные сорта; 6 — шестирядные сорта

При исследовании молекулярно-генетического распределения аллелей у данных сортов выявлено, что комбинация праймеров NIKITA 1-57 + 92714 детектирует фрагмент длиной 260 п.н., встречающийся у всех озимых сортов и отсутствующий у яровых, за исключением сортов Гетьман и Незалежный. Ампликон размером 273 п.н., выявляемый с помощью сочетания праймеров E 2082 + 91673, характерен для всех озимых сортов и одного ярового

Таблица 5
Молекулярно-генетический анализ
внутрисортового полиморфизма ячменя
селекции СГИ с помощью IRAP-метода

Праймер	Количество		Уровень полиморфизма, %
	ПЦР-локусов	полиморфных ПЦР-локусов	
NIKITA 1-57 + R 2	20	15	75,0
C 2430 + R 2	14	12	85,7
91673 + R 2	24	17	70,8
NIKITA 1-57 + R 8	15	10	66,7
E 0229 + R 8	21	15	71,4
C 0945 + R 8	12	7	58,3
92714 + R 9	16	7	43,8
E 0229 + R 9	18	11	61,1
91673 + R 9	16	11	68,8

(Палладум 107). Детектированный с помощью пары праймеров E 2095 + C 0946 ПЦР-продукт длиной 251 п.н. встречается у всех озимых сортов и только у трех яровых (Палладум 107, Пивденный и Прерия).

Дендрограмма феногенетических взаимоотношений исследованных сортов ячменя состоит из двух кластеров (рис. 1). В первом кластере расположены яровые сорта, во втором — озимые. Первый кластер состоит из 19 сортов двурядных ячменей и отдельной ветви шестирядного сорта Палладум 107.

Внутрисортовой анализ (с помощью шести пар IRAP-праймеров) выявил неоднородность 11 сортов ячменя (табл. 5). Количество полиморфных ампликонов — 1—2, а детектированных генотипов внутри сорта — 2—4. У пяти сортов (Переможный, Гетьман, Прерия, Одесский 115 и Росава) полиморфизм детектирован с помощью двух пар праймеров, у остальных шести сортов (Галатея, Незалежный, Пивденный, Палладум, Рось и Манас) — с помощью одной пары праймеров.

Проведен подбор REMAP-праймеров для детекции меж- и внутрисортового полиморфизма исследуемых сортов ячменя (табл. 6). Из 122 комбинаций LTR- и ISSR-праймеров отобраны 9, которые выявляют изменчивость профилей ДНК анализируемых сортов. В ре-

Таблица 6
Характеристика детектированных REMAP-локусов

Сорт	Праймер/пара праймеров	Количество полиморфных локусов	Размер фрагментов, п.н.	Количество генотипов
Переможный	NIKITA 1-57 + 92714	1	410	2
	E 2082	1	576	2
Гетьман	91673 + E 1814	2	484; 432	4
	NIKITA 1-57 + 92714	1	260	2
Прерия	E 2082	2	958; 734	4
	91673 + E 1814	1	284	2
Одесский 115	E 2082	1	958	2
	E 2095 + C 0946	2	293; 265	4
Росава	NIKITA 1-57 + 92714	1	260	2
	NIKITA 1-57 + 91673	1	416	2
Галатея	E 2095 + C 0946	1	327	2
Незалежный	E 2082 + 91673	1	386	2
Пивденный	E 2095 + C 0946	2	265; 251	4
Палладум 107	NIKITA 1-57 + 91673	1	416	2
	E 2095 + C 0946	1	470	2

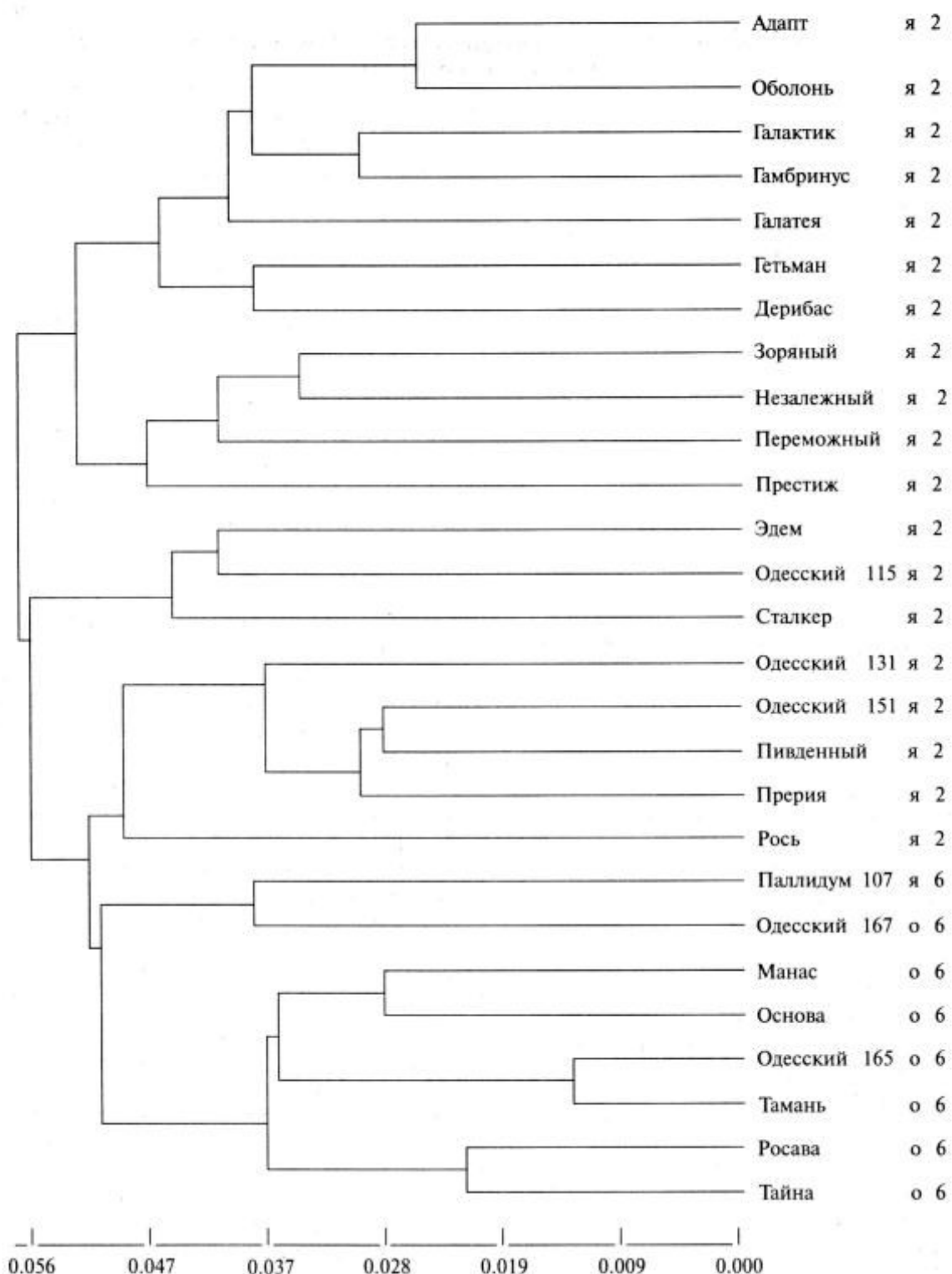


Рис. 2. Дендрограмма феногенетических взаимоотношений сортов ячменя одесской селекции (по данным REMAP-анализа): я — яровые сорта; о — озимые сорта; 2 — двурядные сорта; 6 — шестирядные сорта

Таблица 7

Молекулярно-генетический анализ внутрисортового полиморфизма ячменя селекции СГИ с помощью REMAP-метода

Сорт	Праймер/пара праймеров	Количество полиморфных локусов	Размер фрагментов, п.н.	Количество генотипов
Переможный	NIKITA 1-57 + R 8	1	347	2
	C2430 + R 2	1	360	2
	91673 + R 2	2	285; 259	4
Прерия	NIKITA 1-57 + R 2	2	607; 550	4
	E0229 + R 8	1	277	2
Адапт	91673 + R 2	2	890; 259	4
	NIKITA 1-57 + R 8	1	347	2
	E0229 + R 8	2	277; 232	4
Росава	E0229 + R 8	3	555; 486; 232	6
	C2430 + R 2	1	798	2
Галактик	E0229 + R 8	1	277	2
Пивденный	E0229 + R 8	2	232; 200	4
Рось	E0229 + R 8	2	555; 486	4
Тайна	C2430 + R 2	1	798	2

Таблица 8

Сравнительная характеристика IRAP и REMAP ПЦР-анализа ячменя

Метод	Количество			Уровень полиморфизма, %
	пар праймеров	ПЦР-локусов	полиморфных ПЦР-локусов	
IRAP	9	143	84	58,7
REMAP	9	156	105	67,4

Таблица 9

Праймеры, использованные для REMAP регистрации сортов

Праймер	Код
NIKITA 1-57 + R 2	A
C 2430 + R 2	B
91673 + R 2	C
NIKITA 1-57 + R 8	D
E 0229 + R 8	E
C 0945 + R 8	F
92714 + R 9	G
E 0229 + R 9	H
91673 + R 9	I

зультате анализа 27 сортов ячменя с помощью девяти пар праймеров детектировано 156 продуктов амплификации. Размер ампликонов варьировал от 200 до 2000 п.н. Количество полиморфных ПЦР-локусов — 105. Уровень полиморфизма варьировал от 43,8 до 85,7 % в зависимости от пары праймеров. Количество генотипов, детектируемых той или иной парой праймеров, варьировало от 16 до 25.

При исследовании молекулярно-генетического разнообразия между данными сортами выявлено, что продукт амплификации длиной 503 п.н., детектированный с помощью пары праймеров NIKITA 1-57 + R 8, встречается у яровых сортов за исключением сортов Эдем, Незалежный и Рось и отсутствует у всех озимых, кроме сорта Росава. Ампликон размером 924 п.н., выявленный сочетанием праймеров C 0945 + R 8, обнаружен у яровых сортов и отсутствует у озимых, кроме сорта Основа.

Дендрограмма феногенетических взаимоотношений исследованных сортов ячменя состоит из кластеров, содержащих двурядные сорта и шестирядные. Последний кластер представлен семью озимыми ячменями и одним яровым шестирядным сортом Палладум 107. Во всех остальных кластерах сгруппированы яровые сорта ячменя (рис. 2).

Таблица 10

Молекулярно-генетическая характеристика сортов ячменя по данным REMAP-анализа

1. Адамп	A ₇₉₇ B ₁₃₀₀ B ₁₀₆₈ B ₁₀₂₃ B ₈₉₉ B ₇₉₈ B ₇₁₄ B ₆₂₂ B ₅₈₆ B ₄₇₃ C ₁₀₈₃ C ₁₀₄₅ C ₈₉₀ C ₈₅₃ C ₆₆₀ C ₅₇₂ C ₅₃₆ C ₄₇₉ C ₄₃₅ C ₄₀₃ C ₃₇₅ C ₂₈₅ C ₂₅₉ D ₇₈₉ D ₇₅₁ D ₇₄₁ D ₇₁₆ D ₅₀₃ D ₃₉₀ D ₃₄₇ D ₃₃₀ E ₁₁₈₂ E ₁₀₄₅ E ₁₀₀₉ E ₈₅₇ E ₇₀₃ E ₆₄₄ E ₆₁₁ E ₅₅₅ E ₄₈₆ E ₃₄₈ E ₂₇₇ E ₂₃₂ F ₁₂₇₈ F ₁₀₅₈ F ₉₂₄ G ₃₉₄ G ₃₄₁ H ₁₃₂₉ H ₁₃₀₀ H ₈₆₉ H ₈₂₆ H ₈₀₂ H ₆₇₈ H ₆₂₅ H ₃₀₅ I ₁₂₀₇ I ₈₅₇ I ₅₅₆ I ₄₂₈ I ₄₀₁ I ₂₅₀
2. Галактик	A ₁₁₂₆ A ₉₇₉ A ₇₉₇ B ₁₃₀₀ B ₁₀₆₈ B ₁₀₂₃ B ₈₉₉ B ₇₉₈ B ₇₁₄ B ₆₂₂ B ₅₈₆ B ₅₀₂ B ₃₃₀ C ₁₀₈₃ C ₁₀₄₅ C ₈₉₀ C ₈₅₃ C ₆₆₀ C ₅₇₂ C ₄₇₉ C ₄₃₅ C ₄₀₃ C ₃₇₅ C ₂₈₅ C ₂₅₉ D ₇₈₉ D ₇₅₁ D ₇₄₁ D ₇₁₆ D ₅₀₃ D ₃₉₀ D ₃₄₇ D ₃₃₀ E ₁₀₄₅ E ₁₀₀₉ E ₈₅₇ E ₇₀₃ E ₆₄₄ E ₆₁₁ E ₅₅₅ E ₄₈₆ E ₃₄₈ E ₂₇₇ E ₂₃₂ F ₁₂₇₈ F ₁₀₅₈ F ₉₂₄ F ₃₉₄ G ₃₄₁ H ₁₃₂₉ H ₁₃₀₀ H ₈₆₉ H ₈₂₆ H ₈₀₂ H ₆₇₈ H ₆₂₅ H ₃₀₅ I ₁₂₀₇ I ₈₅₇ I ₅₅₆ I ₄₂₈ I ₄₀₁ I ₂₅₀
3. Галатея	A ₁₇₂₈ A ₁₄₉₀ A ₉₇₉ A ₆₀₇ A ₅₅₀ B ₁₃₀₀ B ₁₀₆₈ B ₁₀₂₃ B ₇₉₈ B ₇₁₄ B ₆₂₂ B ₅₈₆ B ₄₇₃ C ₁₁₅₀ C ₁₀₈₃ C ₁₀₄₅ C ₉₉₁ C ₈₉₀ C ₈₅₃ C ₅₇₂ C ₅₃₆ C ₄₇₉ C ₄₃₅ C ₂₈₅ C ₂₅₉ D ₇₅₁ D ₇₄₁ D ₅₀₃ D ₄₈₈ D ₃₉₀ D ₃₄₇ D ₃₃₀ E ₁₀₄₅ E ₁₀₀₉ E ₈₅₇ E ₇₀₃ E ₆₄₄ E ₆₁₁ E ₅₅₅ E ₄₈₆ E ₄₀₇ E ₃₄₈ E ₂₇₇ E ₂₃₂ F ₁₂₇₈ F ₁₀₅₈ F ₉₂₄ F ₃₉₄ F ₄₁₈ G ₃₄₈ G ₃₄₁ H ₁₃₂₉ H ₁₃₀₀ H ₈₆₉ H ₈₂₆ H ₆₇₈ H ₆₂₅ H ₂₈₂ I ₁₂₀₇ I ₈₅₇ I ₅₅₆ I ₄₂₈ I ₄₀₁ I ₂₅₀
4. Гамбринус	A ₇₉₇ A ₆₀₇ A ₅₅₀ B ₁₀₂₃ B ₇₉₈ B ₇₁₄ B ₆₂₂ B ₅₈₆ B ₅₀₂ B ₃₃₀ B ₂₄₂ C ₁₀₈₃ C ₁₀₄₅ C ₈₉₀ C ₈₅₃ C ₆₆₀ C ₅₇₂ C ₅₃₆ C ₄₇₉ C ₄₃₅ C ₄₀₃ C ₃₇₅ C ₂₈₅ C ₂₅₉ D ₇₅₁ D ₇₄₁ D ₅₀₃ D ₄₈₈ D ₃₉₀ D ₃₄₇ D ₃₃₀ E ₁₁₈₂ E ₁₀₄₅ E ₁₀₀₉ E ₈₅₇ E ₇₀₃ E ₆₄₄ E ₆₁₁ E ₅₅₅ E ₄₈₆ E ₄₀₇ E ₃₄₈ E ₂₇₇ E ₂₃₂ E ₂₀₀ F ₁₂₇₈ F ₁₀₅₈ F ₉₂₄ F ₇₁₄ F ₅₉₄ F ₄₁₈ G ₄₇₂ G ₃₈₄ G ₃₄₈ G ₃₄₁ G ₂₄₉ H ₁₃₂₉ H ₁₃₀₀ H ₈₆₉ H ₈₂₆ H ₆₇₈ H ₆₂₅ H ₂₈₂ I ₁₂₀₇ I ₈₅₇ I ₅₅₆ I ₄₂₈ I ₄₀₁ I ₂₅₀
5. Гетьман	A ₁₈₉₁ A ₁₇₂₈ A ₁₄₉₀ A ₁₂₁₃ A ₁₁₂₆ A ₉₇₉ A ₇₅₈ A ₆₀₇ A ₅₅₀ A ₂₂₁ B ₁₃₀₀ B ₁₀₆₈ B ₁₀₂₃ B ₇₉₈ B ₇₁₄ B ₆₂₂ B ₅₈₆ C ₁₀₈₃ C ₁₀₄₅ C ₈₉₀ C ₈₅₃ C ₆₆₀ C ₅₇₂ C ₄₇₉ C ₄₃₅ C ₄₀₃ C ₃₇₅ C ₂₈₅ C ₂₅₉ D ₇₅₁ D ₇₄₁ D ₇₁₆ D ₅₀₃ D ₄₈₈ D ₃₉₀ D ₃₄₇ D ₃₃₀ E ₁₀₀₉ E ₈₅₇ E ₇₀₃ E ₆₄₄ E ₆₁₁ E ₅₅₅ E ₄₈₆ E ₃₄₈ E ₂₇₇ E ₂₃₂ E ₁₁₉ F ₁₂₇₈ F ₁₀₅₈ F ₉₂₄ F ₄₁₈ F ₄₇₂ G ₃₈₄ G ₃₄₈ G ₃₄₁ G ₂₄₉ H ₁₃₂₉ H ₁₃₀₀ H ₈₆₉ H ₈₂₆ H ₆₇₈ H ₆₂₅ H ₂₈₂ I ₁₂₀₇ I ₈₅₇ I ₅₅₆ I ₄₂₈ I ₄₀₁ I ₂₅₀
6. Дерибас	A ₁₈₉₁ A ₁₇₂₈ A ₁₄₉₀ A ₁₃₁₇ A ₁₂₁₃ A ₁₁₂₆ A ₉₇₉ A ₇₅₈ A ₆₀₇ A ₅₅₀ B ₁₃₀₀ B ₁₀₆₈ B ₁₀₂₃ B ₈₉₉ B ₇₉₈ B ₇₁₄ B ₆₂₂ B ₅₈₆ B ₅₀₂ B ₄₇₃ C ₁₄₀ D ₇₅₁ D ₇₄₁ D ₅₀₃ D ₄₈₈ D ₃₉₀ D ₃₄₇ D ₃₃₀ E ₁₀₀₉ E ₈₅₇ E ₇₀₃ E ₆₄₄ E ₆₁₁ E ₅₅₅ E ₄₈₆ E ₄₀₇ E ₃₄₈ E ₂₇₇ E ₂₃₂ F ₁₂₇₈ F ₁₀₅₈ F ₉₂₄ F ₄₁₈ G ₃₈₄ G ₃₄₈ G ₃₄₁ G ₂₄₉ H ₁₃₂₉ H ₁₃₀₀ H ₈₆₉ H ₈₂₆ H ₆₇₈ H ₆₂₅ H ₂₈₂ I ₁₂₀₇ I ₈₅₇ I ₅₅₆ I ₄₂₈ I ₄₀₁ I ₂₅₀
7. Эдем	A ₅₅₀ A ₁₂₁ B ₁₃₀₀ B ₁₀₂₃ B ₇₉₈ B ₇₁₄ B ₅₈₆ C ₁₁₅₀ C ₈₅₃ C ₆₆₀ C ₅₇₂ C ₄₇₉ C ₄₃₅ C ₄₀₃ C ₃₇₅ C ₂₈₅ D ₇₅₁ D ₇₄₁ D ₅₀₃ D ₄₈₈ D ₃₉₀ D ₃₄₇ D ₃₃₀ E ₁₁₈₂ E ₁₀₀₉ E ₈₄₄ E ₈₈₆ E ₈₂₇ E ₇₂₂ F ₁₂₇₈ F ₁₀₅₈ F ₉₂₄ F ₄₁₈ F ₄₇₂ G ₃₈₄ G ₃₄₈ G ₃₄₁ G ₂₄₉ H ₁₃₂₉ H ₁₃₀₀ H ₈₆₉ H ₈₂₆ H ₆₇₈ H ₆₂₅ H ₂₈₂ I ₁₂₀₇ I ₈₅₇ I ₅₅₆ I ₄₂₈ I ₄₀₁ I ₂₅₀
8. Зорянный	A ₁₂₁₃ A ₉₇₉ A ₇₅₈ A ₆₀₇ A ₅₅₀ B ₁₀₂₃ B ₇₉₈ B ₇₁₄ B ₆₂₂ B ₅₈₆ B ₅₀₂ B ₄₇₃ C ₁₁₅₀ C ₁₀₈₃ C ₁₀₄₅ C ₈₅₃ C ₆₆₀ C ₅₇₂ C ₄₇₉ C ₄₃₅ C ₄₀₃ C ₃₇₅ C ₂₈₅ C ₂₅₉ D ₇₅₁ D ₇₄₁ D ₇₁₆ D ₅₀₃ D ₄₈₈ D ₃₉₀ D ₃₄₇ D ₃₃₀ E ₁₁₈₂ E ₁₀₄₅ E ₁₀₀₉ E ₈₅₇ E ₇₀₃ E ₆₄₄ E ₆₁₁ E ₄₈₆ E ₄₀₇ E ₃₄₈ E ₂₃₂ F ₁₀₅₈ F ₉₂₄ F ₃₉₄ F ₄₁₈ F ₂₉₄ G ₃₇₂ G ₃₄₆ G ₃₄₁ G ₂₄₉ H ₁₃₂₉ H ₁₃₀₀ H ₈₆₉ H ₈₂₆ H ₆₇₈ H ₆₂₅ H ₂₈₂ I ₁₂₀₇ I ₁₀₄₂ I ₈₅₇ I ₅₅₆ I ₄₂₈ I ₄₀₁ I ₃₁₁ I ₂₈₅ I ₂₅₀
9. Незалежный	A ₇₉₇ B ₁₀₂₃ B ₈₉₉ B ₇₉₈ B ₇₁₄ B ₆₂₂ B ₅₈₆ B ₄₇₃ B ₃₃₀ C ₆₄₉ C ₄₀₃ C ₂₅₉ D ₇₄₁ D ₄₈₈ D ₃₄₇ D ₃₃₀ E ₁₁₈₂ E ₁₀₄₅ E ₁₀₀₉ E ₈₅₇ E ₇₀₃ E ₆₄₄ E ₆₁₁ E ₅₅₅ E ₄₈₆ E ₄₀₇ E ₃₄₈ E ₁₃₉ F ₁₀₅₈ F ₉₂₄ F ₂₉₄ G ₃₉₆ G ₃₄₁ H ₁₃₂₉ H ₁₃₀₀ H ₈₆₉ H ₈₂₆ H ₆₇₈ H ₆₂₅ H ₂₈₂ I ₁₂₀₇ I ₁₁₃₀ I ₁₀₄₂ I ₈₅₇ I ₅₅₆ I ₄₂₈ I ₄₀₁ I ₂₅₀
10. Оболонь	A ₇₉₇ B ₁₃₀₀ B ₁₀₆₈ B ₁₀₂₃ B ₈₉₉ B ₇₉₈ B ₇₁₄ B ₆₂₂ B ₅₈₆ B ₄₇₃ C ₁₁₅₀ C ₁₀₈₃ C ₁₀₄₅ C ₉₉₁ C ₈₉₀ C ₈₅₃ C ₅₇₂ C ₄₇₉ C ₄₃₅ C ₄₀₃ C ₃₇₅ C ₂₈₅ C ₂₅₉ D ₇₅₁ D ₇₄₁ D ₇₁₆ D ₅₀₃ D ₄₈₈ D ₃₉₀ D ₃₄₇ D ₃₃₀ E ₁₁₈₂ E ₁₀₄₅ E ₁₀₀₉ E ₈₅₇ E ₇₀₃ E ₆₄₄ E ₆₁₁ E ₅₅₅ E ₄₈₆ E ₃₄₈ E ₂₇₇ E ₂₃₂ E ₂₀₀ F ₁₂₇₈ F ₁₀₅₈ F ₉₂₄ F ₄₁₈ G ₃₉₆ G ₃₄₁ G ₂₄₉ H ₁₃₂₉ H ₁₃₀₀ H ₈₆₉ H ₈₂₆ H ₆₇₈ H ₆₂₅ H ₂₈₂ I ₁₂₀₇ I ₁₁₃₀ I ₁₀₄₂ I ₈₅₇ I ₅₅₆ I ₄₂₈ I ₄₀₁ I ₂₅₀
11. Одесский 115	A ₁₈₉₁ A ₁₇₂₈ A ₁₄₉₀ A ₁₂₁₃ A ₁₁₂₆ A ₉₇₉ A ₆₀₇ A ₅₅₀ B ₁₃₀₀ B ₁₀₆₈ B ₁₀₂₃ B ₈₉₉ B ₇₉₈ B ₇₁₄ B ₆₂₂ B ₅₈₆ B ₅₀₂ B ₄₇₃ C ₁₁₅₀ C ₁₀₈₃ C ₁₀₄₅ C ₈₅₃ C ₆₆₀ C ₅₇₂ C ₄₇₉ C ₄₃₅ C ₄₀₃ C ₃₇₅ C ₂₈₅ C ₂₅₉ D ₈₉₂ D ₇₈₉ D ₇₅₁ D ₇₄₁ D ₇₁₆ D ₅₀₃ D ₄₈₈ D ₃₉₀ D ₃₄₇ D ₃₃₀ E ₁₀₄₅ E ₆₄₄ E ₄₈₆ E ₃₄₈ E ₂₇₇ E ₂₃₂ F ₁₂₇₈ F ₁₀₅₈ F ₉₂₄ G ₃₉₆ G ₃₄₁ G ₂₄₉ H ₁₃₂₉ H ₁₃₀₀ H ₈₆₉ H ₈₂₆ H ₆₇₈ H ₆₂₅ H ₂₈₂ I ₁₂₀₇ I ₁₁₃₀ I ₁₀₄₂ I ₈₅₇ I ₅₅₆ I ₄₂₈ I ₄₀₁ I ₂₅₀
12. Одесский 131	A ₁₇₂₈ A ₁₄₉₀ A ₁₅₁₇ A ₁₂₁₃ A ₁₁₂₆ A ₉₇₉ A ₆₀₇ A ₅₅₀ B ₁₃₀₀ B ₁₀₆₈ B ₁₀₂₃ B ₈₉₉ B ₇₉₈ B ₇₁₄ B ₆₂₂ B ₅₈₆ B ₅₀₂ B ₄₇₃ C ₁₁₅₀ C ₁₀₈₃ C ₁₀₄₅ C ₈₉₀ C ₈₅₃ C ₅₇₂ C ₄₇₉ C ₄₃₅ C ₄₀₃ C ₃₇₅ C ₂₈₅ C ₂₅₉ D ₈₉₂ D ₇₈₉ D ₇₅₁ D ₇₄₁ D ₇₁₆ D ₅₀₃ D ₄₈₈ D ₃₉₀ D ₃₄₇ D ₃₃₀ E ₁₁₈₂ E ₁₀₀₉ E ₈₅₇ E ₇₀₃ E ₆₄₄ E ₆₁₁ E ₅₅₅ E ₄₈₆ E ₃₄₈ E ₂₇₇ E ₂₃₂ E ₂₀₀ F ₁₂₇₈ F ₁₀₅₈ F ₉₂₄ F ₇₁₄ F ₅₉₄ F ₄₁₈ G ₃₉₆ G ₃₄₁ G ₂₄₉ H ₁₃₂₉ H ₁₃₀₀ H ₈₆₉ H ₈₂₆ H ₆₇₈ H ₆₂₅ H ₂₈₂ I ₁₂₀₇ I ₁₁₃₀ I ₁₀₄₂ I ₈₅₇ I ₅₅₆ I ₄₂₈ I ₄₀₁ I ₂₅₀
13. Одесский 151	A ₁₂₁₃ A ₉₇₉ A ₇₅₈ A ₆₀₇ A ₅₅₀ A ₂₂₁ B ₁₃₀₀ B ₁₀₂₃ B ₈₉₉ B ₇₉₈ B ₇₁₄ B ₆₂₂ B ₅₈₆ B ₄₇₃ C ₁₁₅₀ C ₁₀₈₃ C ₁₀₄₅ C ₈₉₀ C ₈₅₃ C ₅₇₂ C ₄₇₉ C ₄₃₅ C ₄₀₃ C ₃₇₅ C ₂₈₅ C ₂₅₉ D ₈₉₂ D ₇₈₉ D ₇₅₁ D ₇₄₁ D ₇₁₆ D ₅₀₃ D ₄₈₈ D ₃₉₀ D ₃₄₇ D ₃₃₀ E ₁₁₈₂ E ₁₀₄₅ E ₁₀₀₉ E ₈₅₇ E ₇₀₃ E ₆₄₄ E ₆₁₁ E ₅₅₅ E ₄₈₆ E ₃₄₈ E ₂₇₇ E ₂₃₂ E ₂₀₀ F ₁₂₇₈ F ₁₀₅₈ F ₉₂₄ F ₇₁₄ F ₅₉₄ F ₄₁₈ G ₃₉₆ G ₃₄₁ G ₂₄₉ H ₁₃₂₉ H ₁₃₀₀ H ₈₆₉ H ₈₂₆ H ₆₇₈ H ₆₂₅ H ₂₈₂ I ₁₂₀₇ I ₁₁₃₀ I ₁₀₄₂ I ₈₅₇ I ₅₅₆ I ₄₂₈ I ₄₀₁ I ₂₅₀
14. Палладум 107	A ₁₃₁₇ A ₁₂₁₃ A ₁₁₂₆ A ₉₇₉ A ₆₀₇ A ₅₅₀ B ₁₃₀₀ B ₁₀₆₈ B ₁₀₂₃ B ₈₉₉ B ₇₉₈ B ₇₁₄ B ₆₂₂ B ₅₈₆ B ₄₇₃ C ₁₀₈₃ C ₁₀₄₅ C ₈₉₀ C ₈₅₃ C ₅₇₂ C ₄₇₉ C ₄₃₅ C ₄₀₃ C ₃₇₅ C ₂₈₅ C ₂₅₉ D ₈₉₂ D ₇₈₉ D ₇₅₁ D ₇₄₁ D ₇₁₆ D ₅₀₃ D ₄₈₈ D ₃₉₀ D ₃₄₇ D ₃₃₀ E ₁₁₈₂ E ₁₀₄₅ E ₁₀₀₉ E ₈₅₇ E ₇₀₃ E ₆₄₄ E ₆₁₁ E ₅₅₅ E ₄₈₆ E ₃₄₈ E ₂₇₇ E ₂₃₂ F ₁₂₇₈ F ₁₀₅₈ F ₉₂₄ F ₇₁₄ F ₅₉₄ F ₄₁₈ G ₃₉₆ G ₃₄₁ G ₂₄₉ H ₁₃₂₉ H ₁₃₀₀ H ₈₆₉ H ₈₂₆ H ₆₇₈ H ₆₂₅ H ₂₈₂ I ₁₂₀₇ I ₁₁₃₀ I ₁₀₄₂ I ₈₅₇ I ₅₅₆ I ₄₂₈ I ₄₀₁ I ₂₅₀
15. Переможный	A ₁₃₁₇ A ₁₂₁₃ A ₁₁₂₆ A ₉₇₉ A ₆₀₇ A ₅₅₀ A ₂₂₁ B ₁₃₀₀ B ₁₀₆₈ B ₁₀₂₃ B ₈₉₉ B ₇₉₈ B ₇₁₄ B ₆₂₂ B ₅₈₆ B ₅₀₂ B ₄₇₃ C ₁₁₅₀ C ₁₀₈₃ C ₁₀₄₅ C ₈₉₀ C ₈₅₃ C ₅₇₂ C ₄₇₉ C ₄₃₅ C ₄₀₃ C ₃₇₅ C ₂₈₅ C ₂₅₉ D ₈₉₂ D ₇₈₉ D ₇₅₁ D ₇₄₁ D ₇₁₆ D ₅₀₃ D ₄₈₈ D ₃₉₀ D ₃₄₇ D ₃₃₀ E ₁₁₈₂ E ₁₀₄₅ E ₁₀₀₉ E ₈₅₇ E ₇₀₃ E ₆₄₄ E ₆₁₁ E ₅₅₅ E ₄₈₆ E ₃₄₈ E ₂₇₇ E ₂₃₂ F ₁₂₇₈ F ₁₀₅₈ F ₉₂₄ F ₇₁₄ F ₅₉₄ F ₄₁₈ G ₃₉₆ G ₃₄₁ G<sub

F ₄₁₈	F ₂₉₄	G ₉₇₂	G ₃₉₆	H ₁₃₂₉	H ₁₃₀₀	H ₈₂₆	H ₆₇₈	H ₆₂₅	H ₂₈₂	I ₁₂₀₇	I ₈₅₇	I ₄₂₈	I ₄₀₁	I ₃₁₁	I ₂₈₅	I ₂₅₀																											
17. <i>Прерия</i>	A ₁₄₉₀	A ₁₃₁₇	A ₁₂₁₃	A ₁₁₂₆	A ₇₉₇	A ₆₀₇	A ₅₅₀	B ₁₀₂₃	B ₈₉₉	B ₇₉₈	B ₇₁₄	B ₆₂₂	B ₅₈₆	B ₅₀₂	B ₄₇₃	B ₃₃₀	C ₁₀₈₃	C ₈₉₀	C ₆₆₀	C ₄₇₉	C ₄₃₅	C ₂₉₄	C ₂₈₅																				
C ₂₅₉	D ₈₉₂	D ₇₈₉	D ₅₀₃	D ₃₃₀	E ₁₁₈₂	E ₁₀₄₅	E ₁₀₀₉	E ₈₅₇	E ₇₀₃	E ₆₄₄	E ₆₁₁	E ₅₅₅	E ₄₈₆	E ₄₀₇	E ₃₄₈	E ₂₇₇	E ₂₃₂	E ₂₀₀	F ₁₂₇₈	F ₁₀₅₈	F ₉₂₄	F ₇₁₄	F ₅₉₄	F ₄₁₈	G ₉₇₂	G ₅₈₄	G ₅₁₈																
G ₄₈₈	G ₃₉₆	G ₃₄₁	G ₂₄₉	H ₁₃₂₉	H ₁₃₀₀	H ₈₇₅	H ₃₀₅	H ₂₈₂	I ₁₂₀₇	I ₈₅₇	I ₅₅₆	I ₄₂₈	I ₄₀₁	I ₃₁₁	I ₂₈₅	I ₂₅₀																											
18. <i>Пrestиж</i>	A ₁₈₉₁	A ₁₇₂₈	A ₁₄₉₀	A ₇₉₇	A ₇₅₈	A ₆₀₇	A ₅₅₀	A ₄₅₂	A ₂₂₁	B ₆₂₂	B ₅₈₆	B ₅₀₂	B ₄₇₃	C ₁₁₅₀	C ₈₉₀	C ₆₆₀	C ₆₄₉	C ₄₇₉	C ₄₀₃	C ₂₅₉	D ₇₈₉	D ₇₄₁	D ₇₁₆																				
D ₅₀₃	D ₄₈₈	E ₁₁₈₂	E ₁₀₄₅	E ₁₀₀₉	E ₈₅₇	E ₇₀₃	E ₆₄₄	E ₆₁₁	E ₅₅₅	E ₄₈₆	E ₄₀₇	E ₃₄₈	E ₂₇₇	E ₂₃₂	E ₂₀₀	F ₁₂₇₈	F ₁₀₅₈	F ₉₂₄	F ₅₉₄	F ₄₁₈	G ₉₇₂	G ₅₈₄	G ₃₉₆	G ₃₄₁	H ₁₃₂₉	H ₁₃₀₀	H ₁₂₄₅																
H ₈₀₂	H ₂₈₂	I ₁₂₀₇	I ₈₅₇	I ₅₅₆	I ₄₆₅	I ₄₀₁	I ₃₁₁	I ₂₈₅	I ₂₅₀																																		
19. <i>Рось</i>	A ₁₃₁₇	A ₁₂₁₃	A ₉₇₉	A ₈₄₁	A ₇₉₇	A ₆₈₁	A ₆₀₇	A ₂₂₁	B ₁₃₀₀	B ₁₀₆₈	B ₇₉₈	B ₇₁₄	B ₆₂₂	B ₅₈₆	B ₅₀₂	B ₄₇₃	C ₁₀₈₃	C ₈₉₀	C ₆₆₀	C ₄₇₉	C ₄₀₃	C ₂₅₉	D ₅₀₃	E ₁₁₈₂																			
E ₁₀₄₅	E ₁₀₀₉	E ₈₅₇	E ₇₀₃	E ₆₄₄	E ₆₁₁	E ₅₅₅	E ₄₈₆	E ₃₄₈	E ₂₃₂	F ₁₀₅₈	F ₉₂₄	F ₅₉₄	F ₄₁₈	G ₉₇₂	G ₅₈₄	G ₄₈₈	G ₃₉₆	H ₂₈₂	I ₁₂₀₇	I ₁₁₃₀	I ₁₀₄₂	I ₈₅₇	I ₄₆₅	I ₄₀₁	I ₃₁₁	I ₂₈₅	I ₂₅₀																
20. <i>Сталкер</i>	A ₁₇₂₈	A ₁₄₉₀	A ₁₃₁₇	A ₁₂₁₃	A ₈₄₁	A ₇₉₇	A ₆₈₁	A ₆₀₇	A ₅₅₀	B ₁₃₀₀	B ₁₀₆₈	B ₇₉₈	B ₆₂₂	B ₅₈₆	B ₅₀₂	B ₄₇₃	C ₁₁₅₀	C ₉₉₁	C ₈₉₀	C ₅₅₃	C ₅₇₂	C ₄₀₃	C ₂₈₅	D ₇₈₉	D ₇₄₁	D ₅₀₃																	
C ₂₅₉	D ₇₈₉	D ₇₄₁	D ₅₀₃	D ₃₃₀	E ₈₅₇	E ₆₄₄	E ₆₁₁	E ₅₅₅	E ₄₈₆	E ₃₄₈	E ₂₇₇	E ₂₃₂	F ₁₀₅₈	F ₉₂₄	G ₉₇₂	G ₅₈₄	G ₄₈₈	G ₃₉₆	G ₃₄₁	G ₂₄₉	H ₁₃₂₉	H ₁₃₀₀	H ₁₂₄₅	H ₆₇₈	H ₂₈₂	I ₁₂₀₇	I ₁₁₃₀	I ₁₀₄₂	I ₈₅₇	I ₅₅₆	I ₄₆₅	I ₃₁₁	I ₂₈₅	I ₂₅₀									
21. <i>Манас</i>	A ₁₈₉₁	A ₁₇₂₈	A ₁₃₁₇	A ₁₂₁₃	A ₁₁₂₆	A ₉₇₉	A ₈₄₁	A ₇₉₇	A ₆₈₁	A ₆₀₇	A ₅₅₀	A ₂₂₁	B ₁₃₀₀	B ₇₉₈	B ₆₂₂	B ₅₈₆	B ₅₀₂	C ₁₁₅₀	C ₁₀₈₃	C ₈₉₀	C ₆₆₀	C ₆₄₉	C ₅₇₂	C ₅₃₆	C ₂₉₄	C ₂₈₅	C ₂₅₉	D ₇₅₁	E ₁₁₈₂														
C ₅₃₆	C ₂₉₄	C ₂₈₅	C ₂₅₉	D ₇₅₁	E ₁₁₈₂	E ₁₀₄₅	E ₁₀₀₉	E ₈₅₇	E ₇₀₃	E ₆₄₄	E ₆₁₁	E ₅₅₅	E ₄₈₆	E ₃₄₈	E ₂₇₇	E ₂₃₂	E ₂₀₀	F ₁₀₅₈	F ₉₂₄	G ₉₇₂	G ₅₈₄	G ₃₁₈	G ₄₈₈	H ₁₃₂₉	H ₁₃₀₀	H ₁₂₈₁	H ₃₀₅	H ₂₈₂	I ₁₂₀₇	I ₁₁₃₀	I ₁₀₄₂	I ₈₅₇	I ₅₅₆	I ₄₆₅	I ₃₁₁	I ₂₈₅	I ₂₅₀						
22. <i>Одесский 165</i>	A ₁₈₉₁	A ₁₇₂₈	A ₁₄₉₀	A ₁₃₁₇	A ₁₂₁₃	A ₁₁₂₆	A ₉₇₉	A ₆₀₇	A ₅₅₀	B ₁₃₀₀	B ₁₀₂₃	B ₇₉₈	B ₆₂₂	B ₅₈₆	B ₅₀₂	C ₁₁₅₀	C ₁₀₈₃	C ₈₉₀	C ₅₅₃	C ₆₄₉	C ₅₇₂	C ₄₀₃	C ₂₉₄	C ₂₈₅	C ₂₅₉	D ₇₅₁	E ₁₁₈₂																
C ₂₅₉	D ₇₅₁	E ₁₁₈₂	E ₁₀₄₅	E ₁₀₀₉	E ₈₅₇	E ₇₀₃	E ₆₄₄	E ₆₁₁	E ₅₅₅	E ₄₈₆	E ₃₄₈	E ₂₇₇	E ₂₃₂	F ₁₀₅₈	F ₉₂₄	G ₉₇₂	G ₅₈₄	G ₄₈₈	G ₃₁₈	G ₃₄₁	H ₁₃₂₉	H ₁₃₀₀	H ₁₂₈₁	H ₈₂₆	H ₆₂₅	H ₃₀₅	H ₂₈₂	I ₁₂₀₇	I ₁₁₃₀	I ₁₀₄₂	I ₈₅₇	I ₅₅₆	I ₄₆₅	I ₃₁₁	I ₂₈₅	I ₂₅₀							
23. <i>Одесский 167</i>	A ₁₇₂₈	A ₁₄₉₀	A ₁₃₁₇	A ₁₂₁₃	A ₁₁₂₆	A ₉₇₉	A ₈₄₁	A ₇₉₇	A ₆₈₁	A ₆₀₇	A ₅₅₀	B ₁₃₀₀	B ₇₉₈	B ₆₂₂	B ₅₈₆	B ₅₀₂	C ₁₀₈₃	D ₈₉₂	D ₇₈₉	D ₇₅₁	D ₇₄₁	D ₇₁₆	D ₅₀₃	E ₁₁₈₂																			
E ₁₁₈₂	E ₁₀₀₉	E ₈₅₇	E ₇₀₃	E ₆₄₄	E ₆₁₁	E ₅₅₅	E ₄₈₆	E ₃₄₈	E ₂₇₇	E ₂₃₂	E ₂₀₀	F ₁₀₅₈	F ₉₂₄	G ₉₇₂	G ₅₈₄	H ₃₀₅	H ₂₈₂	I ₁₂₀₇	I ₁₁₃₀	I ₁₀₄₂	I ₈₅₇	I ₅₅₆	I ₄₆₅	I ₃₁₁	I ₂₈₅	I ₂₅₀																	
24. <i>Основа</i>	A ₁₈₉₁	A ₁₇₂₈	A ₁₃₁₇	A ₁₂₁₃	A ₁₁₂₆	A ₉₇₉	A ₇₉₇	A ₆₈₁	A ₆₀₇	A ₅₅₀	A ₄₅₂	A ₂₂₁	B ₁₃₀₀	B ₁₀₆₈	B ₇₉₈	B ₆₂₂	B ₅₈₆	C ₁₁₅₀	C ₁₀₈₃	C ₉₉₁	C ₈₉₀	C ₆₆₀	C ₆₄₉	C ₅₇₂	C ₅₃₆	C ₂₉₄	C ₂₈₅	D ₇₅₁	E ₁₁₈₂														
C ₅₃₆	C ₂₉₄	C ₂₈₅	C ₂₅₉	D ₇₅₁	D ₅₀₃	E ₁₁₈₂	E ₁₀₄₅	E ₁₀₀₉	E ₈₅₇	E ₇₀₃	E ₆₄₄	E ₆₁₁	E ₅₅₅	E ₄₈₆	E ₃₄₈	E ₂₇₇	E ₂₃₂	E ₂₀₀	E ₁₃₉	F ₁₂₇₈	F ₁₀₅₈	F ₉₂₄	G ₉₇₂	G ₅₈₄	G ₃₁₈	G ₄₈₈	G ₃₄₁	H ₁₃₂₉	H ₁₃₀₀	H ₁₂₈₁	H ₈₂₆	H ₆₂₅	H ₃₀₅	H ₂₈₂	I ₁₂₀₇	I ₁₁₃₀	I ₁₀₄₂	I ₈₅₇	I ₅₅₆	I ₄₆₅	I ₃₁₁	I ₂₈₅	I ₂₅₀
25. <i>Росава</i>	A ₇₉₇	B ₁₃₀₀	B ₁₀₆₈	B ₁₀₂₃	B ₇₉₈	B ₆₂₂	B ₅₈₆	B ₅₀₂	C ₁₁₅₀	C ₁₀₈₃	C ₈₉₀	C ₆₆₀	C ₆₄₉	C ₅₇₂	C ₃₇₅	C ₂₉₄	C ₂₈₅	C ₂₅₉	D ₇₅₁	D ₇₄₁	D ₇₁₆	D ₅₀₃	E ₁₁₈₂																				
E ₁₁₈₂	E ₁₀₄₅	E ₁₀₀₉	E ₈₅₇	E ₇₀₃	E ₆₄₄	E ₆₁₁	E ₅₅₅	E ₄₈₆	E ₃₄₈	E ₂₇₇	E ₂₃₂	E ₂₀₀	F ₁₀₅₈	F ₉₂₄	G ₉₇₂	G ₅₈₄	G ₃₁₈	G ₃₄₁	G ₂₄₉	H ₁₃₂₉	H ₁₃₀₀	H ₁₂₈₁	H ₈₂₆	H ₆₂₅	H ₃₀₅	H ₂₈₂	I ₁₂₀₇	I ₁₁₃₀	I ₁₀₄₂	I ₈₅₇	I ₅₅₆	I ₄₆₅	I ₃₁₁	I ₂₈₅	I ₂₅₀								
26. <i>Тайна</i>	A ₇₉₇	B ₁₃₀₀	B ₁₀₆₈	B ₁₀₂₃	B ₇₉₈	B ₆₂₂	B ₅₈₆	B ₅₀₂	C ₁₁₅₀	C ₁₀₈₃	C ₈₉₀	C ₆₆₀	C ₆₄₉	C ₅₇₂	C ₃₇₅	C ₂₉₄	C ₂₈₅	C ₂₅₉	D ₇₅₁	D ₇₄₁	D ₇₁₆	D ₅₀₃	E ₁₁₈₂																				
E ₈₅₇	E ₇₀₃	E ₆₄₄	E ₆₁₁	E ₅₅₅	E ₄₈₆	E ₃₄₈	E ₂₇₇	E ₂₃₂	F ₁₀₅₈	F ₉₂₄	G ₉₇₂	G ₅₈₄	G ₃₁₈	G ₄₈₈	G ₃₄₁	G ₂₄₉	H ₂₈₂	I ₁₂₀₇	I ₁₁₃₀	I ₁₀₄₂	I ₈₅₇	I ₅₅₆	I ₄₆₅	I ₃₁₁	I ₂₈₅	I ₂₅₀																	
27. <i>Тамань</i>	A ₁₈₉₁	A ₁₇₂₈	A ₁₃₁₇	A ₁₂₁₃	A ₁₁₂₆	A ₉₇₉	A ₆₀₇	A ₅₅₀	B ₁₃₀₀	B ₁₀₂₃	B ₇₉₈	B ₆₂₂	B ₅₈₆	B ₅₀₂	C ₁₁₅₀	C ₁₀₈₃	C ₈₉₀	C ₅₅₃	C ₆₄₉	C ₅₇₂	C ₄₀₃	C ₃₇₅	C ₂₉₄	C ₂₈₅	D ₇₅₁	E ₁₁₈₂																	
C ₂₈₅	C ₂₅₉	D ₇₅₁	E ₁₁₈₂	E ₁₀₄₅	E ₁₀₀₉	E ₈₅₇	E ₇₀₃	E ₆₄₄	E ₆₁₁	E ₅₅₅	E ₄₈₆	E ₃₄₈	E ₂₇₇	E ₂₃₂	F ₁₀₅₈	F ₉₂₄	G ₉₇₂	G ₅₈₄	G ₃₁₈	G ₄₈₈	G ₃₉₆	G ₃₄₁	G ₂₄₉	H ₁₃₂₉	H ₁₃₀₀	H ₁₂₈₁	H ₈₂₆	H ₆₂₅	H ₃₀₅	H ₂₈₂	I ₁₂₀₇	I ₁₁₃₀	I ₁₀₄₂	I ₈₅₇	I ₅₅₆	I ₄₆₅	I ₃₁₁	I ₂₈₅	I ₂₅₀				

Анализ внутрисортового полиморфизма с помощью пяти пар REMAP-праймеров выявил неоднородность восьми сортов ячменя (табл. 7). Количество полиморфных ампликонов — 1–3, а детектированных генотипов (внутри сорта) — 2–6. У сортов Переможный и Прерия полиморфизм детектирован с помощью трех пар праймеров, а у Адапта и Росава — с помощью двух пар праймеров. У сортов Галактик, Пивденный, Рось и Тайна полиморфизм детектирован с одной парой праймеров.

В табл. 8 приведена сравнительная характеристика двух методов ПЦР (IRAP, REMAP), с помощью которых проводилось исследование

ние. Оба подхода позволяют детектировать значительное количество полиморфных локусов и имеют высокий уровень полиморфизма. Однако у REMAP-анализа основные показатели несколько выше.

Суммарная дендрограмма (не приводится) феногенетических взаимоотношений сортов ячменя одесской селекции, построенная по данным двух использованных методов, представлена двумя кластерами. В состав первого входят яровые сорта ячменя, в состав второго — озимые. Шестиriadный сорт Палладум 107 располагается отдельно от двурядных ячменей. Таким образом, полилокусные системы

ПЦР-анализа IRAP и REMAP с высокой эффективностью дифференцируют сорта ячменя. Детектируемый полиморфизм позволяет дифференцировать яровые и озимые, шестигенные и двурядные сорта ячменя.

Для характеристики и идентификации сортов использовали метод записи данных ПЦР-анализа в виде формулы, отражающей состав фиксированных локусов. В табл. 9 приводятся примеры, которые применили в REMAP-анализе и соответствующее буквенное кодирование. Приведенные в табл. 10 детальные формулы позволяют оценить генетическую структуру сортов и сравнить эти показатели при анализе сорта различных лет репродукции.

Выводы. Охарактеризован диапазон межсортовой изменчивости ячменя одесской селекции с помощью IRAP- и REMAP-методов. Сорта ячменя, исследованные с помощью кластерного анализа, дифференцированы на отдельные группы по степени генетической близости. Распределение исследованных сортов отвечает таким признакам, как яровые и озимые, двурядные и шестигенные. Установлена неоднородность исследованных сортов ячменя. В сравнении с SSRP-анализом, использование IRAP- и REMAP-методов является более эффективным для детекции внутрисортового полиморфизма. На базе полученных данных IRAP- и REMAP-анализов проведена регистрация исследованных сортов ячменя: каждому сорту соответствует формула, отражающая состав фиксированных локусов и характеризующая специфичность данного генотипа.

SUMMARY. Application of polylocus biallelic systems of PCR along with monolocus SSR-analysis is very promising approach for detailed characterization, differentiation and identification of crop varieties. Microsatellite sequences and LTR retrotransposon fragments are known to be the most variable in plant genome. They can be used in PCR analysis as IRAP and REMAP. Conditions of IRAP and REMAP analyses of intra- and intervariety polymorphism of the barley varieties of Odessa breeding have been elaborated. The detailed genotype formulas are represented

which reflect the intravariety polymorphism and make it possible to detect the changes in variety structure in the course of seed production process.

РЕЗЮМЕ. Для детальної характеристики, диференціювання і ідентифікації сортів сільськогосподарських рослин поряд з SSR-аналізом є перспективними полілокусні біалельні системи ПЛР-аналізу. В геномі рослин як найбільш варіабельні відомі ділянки мікросателітів та LTR фрагменти ретротранспозонів, які можуть бути використаними в ПЛР у вигляді IRAP та REMAP. Розроблено умови IRAP- та REMAP-аналізу ячменю на прикладі сортів одеської селекції. Наведено детальні формулі сортів, які відбивають внутрішньосортовий поліморфізм і дозволяють прослідувати за змінами структури сорту, що відбуваються в процесі насінництва.

СПИСОК ЛИТЕРАТУРЫ

- Использование ПЦР-анализа в генетико-селекционных исследованиях : Науч.-метод. руководство / Под ред. Ю.М. Сиволапа. — К.: Агропромиздат, 1998. — 271 с.
- Сиволап Ю.М., Кожухова Н.Е. ДНК-технології в реєстрації і охороні прав на сорти рослин // Сортовивчення та охорона прав на сорти рослин. — 2005. — 1. — С. 66—74.
- Сиволап Ю.М., Бальвинская М.С., Редер М. SSRP-анализ молекулярно-генетического полиморфизма сортов ярового ячменя южноукраинской селекции // Докл. РАСХН. — 2001. — № 5. — С. 3—7.
- Kalendar R., Vicient C.M., Peleg O., Anamthawat-Jonsson K., Bolshoy A., Alan H., Schulman A.H. Large retrotransposon derivatives: abundant, conserved but nonautonomous retroelements of barley and related genomes // Genetics. — 2004. — 166 (3). — P. 1437—1450.
- Leigh F., Kalendar R., Lea V., Lee D., Donini P., Schulman A.H. Comparison of the utility of barley retrotransposon families for genetic analysis by molecular marker techniques // Mol. Genet. and Genom. — 2003. — 269 (3). — P. 464—474.
- Manninen O., Kalendar R., Robinson J., Schulman A.H. Application of BARE-1 retrotransposon markers to the mapping of a major resistance gene for net blotch in barley // Mol. Genet. and Genom. — 2000. — 264. — P. 325—334.
- Kalendar R., Grob T., Regina M.T., Suoniemi A., Schulman A.H. IRAP and REMAP: Two new retrotransposon-based DNA fingerprinting techniques // Theor. and Appl. Genet. — 1999. — 98. — P. 704—711.

Поступила 19.10.05